

مجله علوم و صنایع غذایی ایران

سایت مجله: www.fsct.modares.ac.ir



مقاله علمی_پژوهشی

پایدارسازی حرارتی عصاره آنتوسبیانین گلبرگ زعفران با استفاده از روش ریزپوشانی و کاربرد آن در مدل غذاهای

حامد صابریان^{۱*}، حمید پاسبان^۲

۱- استادیار گروه پژوهشی افروندی های غذایی، پژوهشکده علوم و فناوری مواد غذایی، سازمان جهاد دانشگاهی خراسان رضوی، خراسان رضوی، ایران.

۲- استادیار مرکز خدمات تخصصی کشاورزی، جهاد دانشگاهی واحد صنعتی اصفهان، اصفهان، ایران.

۳- دانشجوی کارشناسی ارشد، گروه علوم و صنایع غذایی، موسسه آموزش عالی جهاد دانشگاهی کاشمر، کاشمر، ایران.

چکیده

اطلاعات مقاله

یکی از چالش های مهمی که در زمینه استفاده از آنتوسبیانین ها وجود دارد، پایداری نسبتاً پایین آنها مخصوصاً در برابر نور و حرارت می باشد. بنابراین، هدف اصلی این پژوهش، افزایش پایداری عصاره آنتوسبیانینی استخراجی از گلبرگ زعفران در برابر تیمارهای حرارتی و شرایط نوری می باشد. برای رسیدن به این هدف، در بیشتر موارد از روش ریزپوشانی استفاده می شود. برای پایدارسازی عصاره آنتوسبیانینی گلبرگ زعفران، بهینه سازی ریزپوشانی آنتوسبیانین ها با صمع غربی، صمع فارسی، مالتودکسترن و پروتئین آب پنیر انجام شد و پایداری حرارتی آنها در نوشیدنی مدل برسی شد. نیمه عمر آنتوسبیانین طی تیمار حرارتی (در دمای ۹۰ درجه سانتی گراد) ۱۰۰/۸ دقیقه بود و مبنای تیمار حرارتی برای نمونه ها قرار گرفت. از میان ترکیبات دیواره ای مورد استفاده برای ریزپوشانی عصاره آنتوسبیانینی، بیشترین میزان آنتوسبیانین کل ریزکپسول ها مربوط به ریزکپسول مالتودکسترن (۱۹۱/۷ میلی گرم سیانیدین ۳- گلیکوزید به ازای ۱۰۰ گرم پودر گلبرگ) بود. بعد از آن، نمونه هایی که دیواره آن دوچندی بود و یک جزو آن را مالتودکسترن تشکیل می داد، قرار داشتند. کمترین میزان آنتوسبیانین کل نیز مربوط به ریزکپسول های حاوی صمع غربی بود. پس از بکار بردن ریزکپسول ها در نوشیدنی مدل، بیشترین آنتوسبیانین باقی مانده (۶۳/۵۵ درصد) مربوط به ریزکپسول حاوی دیواره ترکیبی مالتودکسترن و کنسانتره پروتئین آب پنیر (به نسبت ۱ به ۱) بود. بنابراین دیواره پروتئینی، تاثیر مثبت بیشتری بر محافظت از آنتوسبیانین ها در نوشیدنی مدل طی فرآیندهای حرارتی داشته است.

تاریخ های مقاله :

تاریخ دریافت: ۱۴۰۰/۰۲/۱۴

تاریخ پذیرش: ۱۴۰۱/۱۰/۰۵

کلمات کلیدی:

پایدارسازی حرارتی، آنتوسبیانین، گلبرگ زعفران، ریزپوشانی، پروتئین آب پنیر.

DOI: 10.22034/FSCT.19.132.17

DOR: 20.1001.1.20088787.1401.19.132.2.5

* مسئول مکاتبات:

Saberian@acecr.ac.ir

۱- مقدمه

زعفران حاوی مقادیر قابل ملاحظه‌ای از ترکیبات با ارزش از قبیل آنتوسبینین‌ها می‌باشد [۶].

کاربرد عمده رنگدانه‌های طبیعی، مخصوصاً آنتوسبینین‌ها، جهت بهبود ظاهر غذا و نوشیدنی (آب‌میوه، مریبا، ژله، پاستیل، کیک، صنایع لبنی و ... و همچنین مکمل‌های غذایی) یا بازیابی کاهش رنگ ناشی از فرآوری و نگهداری و همچنین مصارف دارویی می‌باشد. اگرچه آنتوسبینین‌ها کاربردهای فراوانی در صنایع غذایی و دارویی دارند اما معایب فنی آن‌ها از قبیل پایداری نسبتاً پایین در مقایسه با رنگ‌های سنتزی، ایجاد چالش کرده است [۷]. عوامل فیزیکوشیمیایی مختلفی از قبیل pH محصول، قرار گرفتن در معرض نور، دما و ایجاد کمپلکس با ترکیبات دیگر موجود در محصول، پایداری آنتوسبینین‌ها را تحت تاثیر قرار می‌دهد [۸]. روش‌های مختلف جهت کاهش تخریب آنتوسبینین‌ها ارائه شده است که مهمترین و متداول‌ترین آن‌ها، ریزپوشانی آنتوسبینین‌ها (به صورت پودر یا امولسیون) [۹] می‌باشد. در جدیدترین تحقیقات، تولید امولسیون دوگانه نیز جهت افزایش پایداری آنتوسبینین‌ها مطرح شده است [۱۰].

ریزپوشانی آنتوسبینین‌ها غالباً با استفاده از پلی ساکاریدهای مختلف صورت گرفته است تا این ترکیب زیست فعال از تاثیر فاکتورهای محیطی از قبیل نور، دما و اکسیژن محافظت می‌شود. فرآیند خشک کردن پاششی عدّتاً در صنعت غذا استفاده می‌شود زیرا هزینه‌های عملیاتی نسبتاً پایینی دارد، امکان تولید در مقیاس زیاد وجود دارد و در نهایت یک پودر خشک، به عنوان محصول نهایی، حاصل می‌شود. البته باید توجه داشت که اگر دمای رودی خشک‌کن پاششی بالا باشد میزان آنتوسبینین کاهش می‌یابد. از آنجایی که آنتوسبینین‌ها محلول در آب هستند با فرمولاسیون‌های حاوی مالتودکسترن، صمغ عربی و نشاسته سازگارند [۱۱].

مهندی خزاعی و همکاران (۲۰۱۶) پایداری آنتوسبینین و رنگ عصاره گلبرگ زعفران ریزپوشانی شده با مواد دیواره‌ای مختلفی از قبیل صمغ عربی و مالتودکسترن (۷ و ۲۰) و به روش خشک‌کردن انجمادی را مورد بررسی قرار دادند [۱۲]. جعفری و همکاران (۲۰۱۶) کارایی ریزپوشانی عصاره آنتوسبینینی گلبرگ زعفران با استفاده از صمغ دانه شاهی (Cress)، به عنوان یک هیدروکلوزید بومی، صمغ عربی و مالتودکسترن را بررسی کردند

در سال‌های گذشته، بازار رنگ‌های طبیعی رشد سریعی داشته است و انتظار می‌رود سالانه حدود ۱۰ تا ۱۵ درصد به این بازار افروده شود. رنگدانه‌های طبیعی، جایگزین بسیار مناسبی برای نوع سنتزی هستند و کاربرد آن‌ها در غذاها و نوشیدنی‌ها رو به افزایش است. این مساله به خاطر رشد آگاهی‌های جامعه از اثرات جانبی ترکیبات شیمیایی و خطرات زیست محیطی آن‌ها می‌باشد [۱]. علاوه بر کاربردهای غذایی رنگ‌های طبیعی، مصرف آن‌ها جهت کاهش بیماری‌های غیرواگیر از قبیل سرطان، دیابت، چاقی و غیره نیز مطرح می‌باشد [۲].

آنتوسبینین‌ها گروهی از ترکیبات فنولی طبیعی هستند که مسئول ایجاد رنگ‌های قرمز روشن، آبی و بنفش میوه‌ها و سبزیجات می‌باشند. آنتوسبینین‌ها، گلیکوزیدها و آسیل گلیکوزیدهای آنتوسبینیدین‌ها هستند که محلول در آب می‌باشند و در شکل هتروزیدهای پلی هیدروکسیله شده و پلی متوكسیله شده از فلاوویلیوم یا یون ۲- فنیل بنزوپیریلیوم مشتق شده اند [۳]. فراوانترین آنتوسبینیدین‌ها شامل سیانیدین، دلفینیدین و پلارگونیدین می‌باشد و پس از آن‌ها، مالویدین، پتونیدین و پئونیدین می‌باشد. رنگ هرکدام از این‌ها وابسته به جایگزینی آن‌ها و آسیله بودن یا نبودن آن‌ها می‌باشد. تحت شرایط اسیدی، رنگ آنتوسبینین‌های مونوآسیله و آسیله نشده عدّتاً با جایگزینی در حلقه B آگلیکون تعیین می‌شود [۴].

منابع عدّه آنتوسبینین‌ها در جهان، پوست و تفاله انگور قرمز و هویج سیاه (یا ارغوانی) می‌باشد. با توجه به اینکه این منابع عدّتاً بومی کشور ما نمی‌باشند، قاعدتاً در اولویت قرار نمی‌گیرند. از طرفی، با توجه به تولید سالیانه حدود ۳۰۰ هزار تن گلبرگ زعفران در کشور و هدر رفت آن در مزارع، این منبع از پتانسیل بسیار مناسبی، به عنوان منبع ارزان قیمت، فراوان و در دسترس، برای تولید آنتوسبینین برخوردار می‌باشد.

زعفران (Crocus sativus L.) از جمله گیاهان داروئی با ارزش و بومی ایران است و سالانه حدود ۳۳۶ تن (۸۸/۸) درصد کل تولید جهان) در کشور تولید می‌شود [۵]. [۵] ۸۶/۴۲ درصد گل تازه زعفران مربوط به گلبرگ و کاسبرگ می‌باشد که بعد از جداسازی کلاله از گل زعفران، دور ریخته می‌شود. گلبرگ

۲-مواد و روش ها

۲-۱-مواد شیمیایی

گلبرگ خشک زعفران از مزارع زعفران مشهد تهیه شد. اثانول با درجه آزمایشگاهی از شرکت دکتر مجللی (صنایع شیمیایی دکتر مجللی، ایران) خریداری شد. اسید سیتریک، سدیم سیترات، اسید آسکوربیک و صمغ عربی از شرکت تیتراکم خریداری شد. مالتودکسترن با DE برابر با ۱۸ از شرکت زر فروکوز و کنسانتره پروتئین آب پنیر (WPC) از شرکت هیلمار (آمریکا) خریداری شد. صمغ فارسی از شرکت ریحان گام پارسیان خریداری شد.

۲-۲-روش ها

۲-۲-۱-استخراج و اندازه گیری عصاره آنتوسبیانینی

به منظور استخراج آنتوسبیانین موجود در گلبرگ زعفران، از روش بهینه شده توسط بلوریان و همکاران (۱۳۹۹) استفاده شد [۱۶]. ابتدا گلبرگ زعفران خشک شده در دمای کمتر از ۴۰ درجه سانتی گراد توسط آسیاب آزمایشگاهی (مدل TS-1300، توس شکن خراسان، ایران) خرد شده و پودر با مش ۱۶ تهیه شد و پس از توزیز، با حلال (اثانول ۵۰ درصد اسیدی شده با اسید کلریدریک ۱ نرمال تا رسیدن به pH برابر با ۲) به نسبت ۱:۲۵ (حجمی/ وزنی) در دمای ۳۰ درجه سانتی گراد به مدت ۳۲ دقیقه به منظور استخراج قرار گرفت. در مرحله بعد، عصاره استخراج شده با استفاده از سانتریفیوژ و کاغذ صافی واتمن صاف گردید. عصاره حاصل با استفاده از دستگاه تبخير کننده چرخان تحت خال (Heidolpg، آلمان) در دمای حدود ۴۰ درجه سانتی گراد (با سرعت چرخش ۳۰ دور بر دقیقه) تا رسیدن به بریکس حدود ۹ تعطیل شد و تا زمان کاربرد، در ظروف پلاستیکی دربسته و پوشیده شده با فویل آلومینیوم، در دمای ۴ درجه سانتی گراد نگهداری شد. سپس این عصاره در روش های مختلف پایدارسازی بکار برده شد.

۲-۲-۲-بهینه سازی ریزپوشانی آنتوسبیانین با پلی ساکاریدهای مختلف

مواد دیواره ای شامل مالتودکسترن (معادل دکستروز اکی والان ۱۸)، صمغ عربی، صمغ فارسی و پروتئین آب پنیر به صورت

و هیچ تفاوتی بین میزان آنتوسبیانین کل چهار فرمول ترکیبی پس از تولید و همچنین پس از ۱۰ هفته نگهداری مشاهده نکردند [۱۳]. چانگ و همکاران (۲۰۱۵) پایداری رنگ آنتوسبیانین سیانیدین ۳-۰-گلوکوزید (C3G) استخراجی از هویج ارغوانی را با استفاده از پروتئین آب پنیر (در حالت طبیعی و دناتوره شده) و پکتین (مرکبات و چغندرقند) ارزیابی کردند. بهترین نتیجه، با استفاده از پروتئین آب پنیر دناتوره شده مشاهده شد که اثر منفی اسید آسکوربیک را بر روی شدت جذب، به اندازه نصف کاهش داد. بعد از آن، پکتین چغندرقند، پروتئین آب پنیر طبیعی و پکتین مرکبات قرار داشتند [۱۴]. چانگ و همکاران (۲۰۱۶) اثر صمغ عربی (۵-۰ درصد) را بر افزایش پایداری رنگ آنتوسبیانین ها در سامانه نوشیدنی حاوی اسید آسکوربیک نیز بررسی کردند و مشاهده کردند که نیمه عمر آنتوسبیانین در نمونه قادر صمغ عربی ۲/۲۴ روز بود اما در نمونه حاوی ۱/۵ درصد صمغ عربی، این عدد به ۵/۲۵ روز رسید [۱۵].

براساس تحقیقات صورت گرفته، روش ریزپوشانی با استفاده از مواد دیواره ای مالتودکسترن، صمغ عربی و پروتئین آب پنیر با استفاده از خشک کن پاششی تاثیر مثبتی بر پایدارسازی آنتوسبیانین ها داشته اند. البته قابل ذکر است که در برخی از تحقیقات، پایداری آنتوسبیانین در پودر ریزپوشانی شده و در برخی دیگر، پایداری در نوشیدنی مدل بررسی شده است. در برخی از تحقیقات، پایداری آنتوسبیانین طی زمان ابарамانی و در برخی دیگر، طی تیمار حرارتی با دمای بالا بررسی صورت گرفته است. لذا در این تحقیق، ابتدا پایداری عصاره آنتوسبیانینی گلبرگ زعفران در پودر تولیدی با روش ریزپوشانی و با استفاده از مواد دیواره ای مختلف به صورت منفرد و ترکیبی (مالتودکسترن، صمغ عربی، پروتئین آب پنیر، مخلوط ۱ به ۱ مالتودکسترن و صمغ عربی، مخلوط ۱ به ۱ پروتئین آب پنیر و مالتودکسترن، مخلوط ۱ به ۱ پروتئین آب پنیر و صمغ عربی، مخلوط مالتودکسترن و صمغ فارسی و مخلوط صمغ عربی و صمغ فارسی) بررسی شد. سپس پایداری آنتوسبیانین در نوشیدنی مدل طی تیمار حرارتی و نگهداری بررسی شد تا عملکرد مواد دیواره ای مختلف به طور جامع بررسی و مقایسه شود و دیواره بهینه انتخاب و معرفی گردد.

سیانیدین ۳- گلیکوزید می‌باشند، داده‌های کمی به عنوان سیانیدین ۳-گلیکوزید بیان شدند.

۲-۴-۲-۲- تعیین قطر ذرات

به منظور سنجش اندازه و سطح مخصوص ذرات پودرهای حاصل از خشک کن پاششی، ابتدا دیسپرسیون آنها در متابولیزه شد و سپس به کمک دستگاه Particle Size Analyzer مدل Etasizer Nano ZS ساخت شرکت Malvern اندازه گیری شد [۱۹].

۲-۴-۳- تعیین شاخص بس پاشیدگی^۱

شاخص بس پاشیدگی با توجه به منحنی توزیع اندازه ذرات توسط نرم افزار دستگاه Particle Size Analyzer محاسبه گردید و اندازه گیری‌ها در دمای اتاق انجام شد [۲۰]. پراکنده‌گی اندازه ذرات بین ۰/۰۵-۰/۰۵ نشان‌دهنده کم بودن پراکنده‌گی ذرات و باریک بودن نمودار پراکنده‌گی ذرات می‌باشد. مقادیر بزرگتر از ۰/۰۵ نشان‌دهنده پراکنده‌گی وسیع ذرات می‌باشد.

۲-۴-۴- تعیین کارایی ریزپوشانی^۲

بعد از تعیین محتوای آنتوسبیانین کل و آنتوسبیانین موجود در محلول روماند از معادله زیر کارایی ریزپوشانی را می‌توان محاسبه نمود [۱۸].

$$EE = \frac{TA - TS}{TA} \times 100$$

که در آن EE کارایی ریزپوشانی، TA میزان آنتوسبیانین کل و TS میزان آنتوسبیانین موجود در محلول روماند می‌باشد. برای اندازه گیری آنتوسبیانین کل، پودر تهیه شده در آب مقطر به طور کامل حل شد و جهت رسوب ناخالصی‌ها، با استفاده از سانتریفیوژ (مدل سیگما، ساخت آلمان) سانتریفیوژ نیز گردید (g ۴۲۰۰ به مدت ۲۰ دقیقه). برای تعیین آنتوسبیانین موجود در محلول روماند، نمونه‌های پودر در اتanol حل شده و پس از سانتریفیوژ کردن محلول، محلول رویی جهت تعیین میزان آنتوسبیانین موجود در محلول روماند استفاده می‌شود.

۲-۵-۱- آزمون پایداری حرارتی و بررسی کینتیک

تخرب آنتوسبیانین

نوشیدنی مدل (بافر اسید سیتریک ۲۰ میلی مولار در pH) برابر با

منفرد و ترکیبی در آب مقطر گرم به مدت ۳۰ دقیقه مخلوط و حل شده و سپس به مدت یک شب در یخچال نگهداری شدند تا به طور کامل جذب آب صورت پذیرد. تیمارها شامل مالتودکسترن (MD)، صمغ عربی (GA)، پروتئین آب پنیر (WPC)، مخلوط ۱ به ۱ مالتودکسترن و صمغ عربی (MD+GA)، مخلوط ۱ به ۱ پروتئین آب پنیر و مالتودکسترن (MD+WPC)، مخلوط مالتودکسترن و صمغ فارسی (GA+WPC) و مخلوط صمغ عربی و صمغ فارسی (GA+GF) بود. در مخلوط‌های حاوی صمغ فارسی، غلظت این صمغ ۴ درصد بود زیرا در غلظت‌های بیشتر، ویسکوزیته محلول به شدت افزایش پیدا می‌کرد و حالت شبه ژلی پیدا می‌کرد [۱۷]. نسبت بریکس مواد دیواره به بریکس عصاره آنتوسبیانین ۳ به ۱ (وزنی/وزنی) انتخاب شد [۱۸]. براین اساس، بریکس محلول دیواره به ۲۷ رسید. سپس محلول دیواره و عصاره گلبرگ زعفران به نسبت ۱ به ۱ (وزنی/وزنی) به مدت ۳۰ دقیقه همگن شده و بریکس مخلوط نهایی برای فرستادن به خشک کن پاششی به ۱۳/۵ رسید.

۲-۲-۳- تولید نوشیدنی مدل

نوشیدنی مدل حاوی ۸ درصد (وزنی/وزنی) عصاره آنتوسبیانین و ۱۰/۰ درصد کلرید کلسیم در بافر اسید سیتریک ۲۰ میلی مولار با pH برابر با ۳ تهیه شد [۱۴].

۲-۲-۴- آزمون‌های فیزیکوشیمیایی

۲-۲-۱- اندازه گیری غلظت آنتوسبیانین

غلظت آنتوسبیانین نمونه‌ها با استفاده از اسپکتروفوتومتر UV-Vis در دو طول موج ۵۲۰ و ۷۰۰ نانومتر و با استفاده از دو بافر پاتسیم کلرید ۰/۰۲۵ مولار در ۱ pH و سدیم استات ۰/۴ مولار در ۴/۵ pH و با استفاده از فرمول زیر برآورد شد [۱۳].

$$\text{غلظت رنگدانه آنتوسبیانین} = \frac{A \times Mw \times DF}{\epsilon \times L} \times mg/L$$

که در آن، A (A530- A700) pH 1.0- (A530- A700) pH 4.5 g/mol = وزن مولکولی آنتوسبیانین (Mw) است، DF = فاکتور رقت، $\epsilon =$ ضریب (۴۴۹/۲)، L = طول مسیر (۱ سانتی‌متر) است.

با توجه به اینکه آنتوسبیانین‌های گلبرگ زعفران عمدتاً از نوع

1. Polydispersity index (PDI)

2. Encapsulation Efficiency (EE)^۳

۳-نتایج و بحث

۳-۱-پایداری حرارتی نوشیدنی مدل حاوی عصاره آنتوسبیانینی

همانطور که در شکل ۱ مشاهده می‌شود، با افزایش زمان حرارت دهی، میزان آنتوسبیانین به شدت کاهش یافت. براساس شکل ۱ و MATLAB همچنین با استفاده از مدل درجه یک در نرم افزار مشخص شد که زمان نیمه عمر تخریب آنتوسبیانین ۱۰۰/۸ دقیقه است.

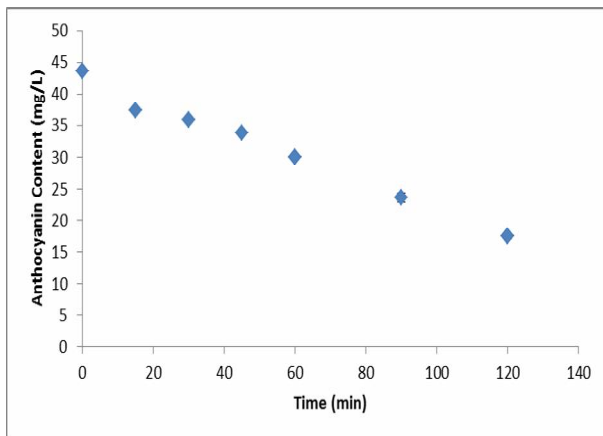


Fig 1 Heat stability in the model drink

شاخص قرمزی نوشیدنی مدل نیز در زمان‌های مختلف حرارت دهی در دمای ۹۰ درجه سانتی‌گراد بررسی شد و همانطور که در شکل ۲ مشاهده می‌شود، با افزایش زمان حرارت دهی، شاخص قرمزی به طور معنی‌داری ($p < 0.05$) کاهش یافته است که همبستگی خوبی با میزان آنتوسبیانین (شکل ۱) دارد و نشان دهنده تخریب آنتوسبیانین می‌باشد [۲۲].

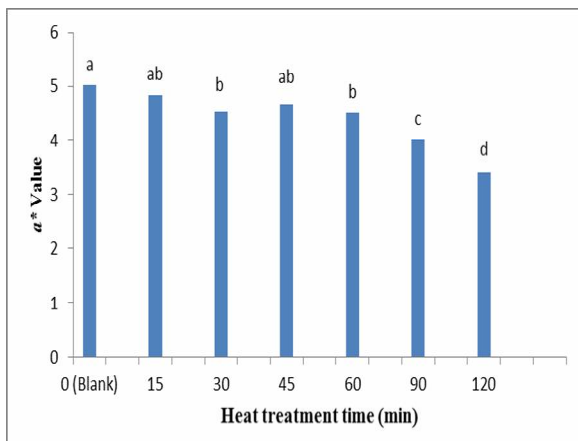


Fig 2 The effect of the heating time at 90 °C on the a* value of the anthocyanin in the model drink

(۳) حاوی ۰/۰۱ درصد کلرید کلسیم و عصاره آنتوسبیانینی تهیه شد. نوشیدنی‌های مدل تهیه شده در دمای ۹۰ درجه سانتی‌گراد برای مدت ۰، ۱۵، ۳۰، ۴۵، ۶۰، ۹۰ و ۱۲۰ دقیقه با استفاده از حمام آب گرم (Memert, Germany) حرارت داده شدند و T سپس تا دمای محیط سرد شدند. زمان نیمه عمر آنتوسبیانین (T ۱/۲) از معادلات زیر محاسبه شد و تیمارهای ذکر شده برای بررسی تاثیر پایدارسازی، در آن زمان مورد بررسی قرار گرفتند [۱۴ و ۱۵].

$$\frac{C}{C_0} = \exp(-Kt)$$

که در این فرمول C غلظت رنگدانه‌ها در زمان t (حرارت دهی در دماهای مختلف)، C_0 نشانگر غلظت رنگدانه‌های اولیه می‌باشد. K (روز^{-۱}) ثابت سرعت واکنش است [۲۱].

$$T_{1/2} = \frac{-\ln 0.5}{K}$$

۶-۲-۲- اندازه‌گیری شاخص رنگی

برای ارزیابی رنگ نمونه‌ها (پودر و نوشیدنی) از سیستم CIELab استفاده شد که طی آن سه شاخص روشناهی/تاریکی (L*), قرمزی/سبزی (a*) و زردی/آبی (b*) اندازه‌گیری شدند. این شاخص‌ها با استفاده از دستگاه هاترلب (Hunter Lab) تعیین شدند [۱۳]. برای این کار، حدود ۱۰ گرم پودر یا ۳۰ میلی‌لیتر نوشیدنی مدل (حجم بطری شیشه‌ای) در ظرف شیشه‌ای مخصوص هاترلب ریخته شد و شاخص‌های رنگی خوانده شدند.

۳-۲- روش تحلیل داده‌ها

برای مقایسه تاثیر دیواره‌ها بر شاخص‌هایی از قبیل اندازه ذرات، فعالیت آبی، شاخص‌های رنگی، میزان آنتوسبیانین و کارابی ریزی‌پوشانی از طرح یک فاکتور در یک زمان استفاده شد. آزمایش‌ها در حدائق دو تکرار انجام شدند و سپس میانگین و انحراف معیار داده‌ها بدست آمد. جهت مطالعه وجود اختلاف آماری معنی‌دار بین تیمارهای مختلف، از آنالیز واریانس (ANOVA) و آزمون توکی استفاده شد. در تمام مراحل، تجزیه Minitab 17 و تحلیل آماری داده‌ها با استفاده از نرم افزارهای Matlab 16 صورت پذیرفت.

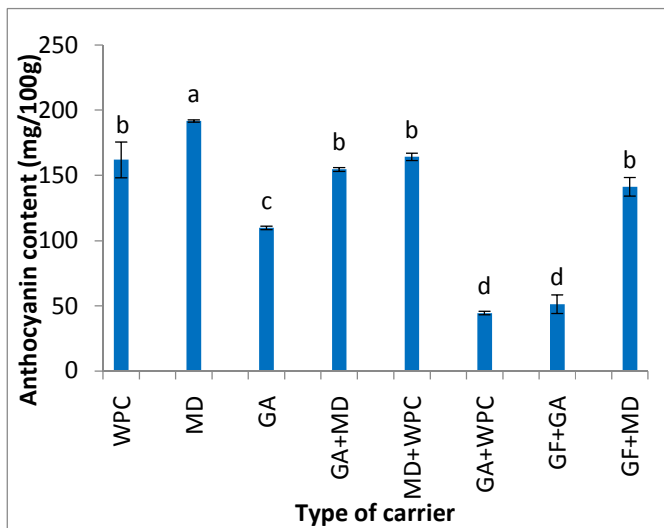


Fig 4 The effect of the wall type of the microcapsule on the anthocyanin content of the microencapsulated anthocyanin powder

استفاده از مواد دیوارهای در نسبت مناسب برای ریزپوشانی ترکیبات فعال می‌تواند آنها را محافظت کرده و کارایی آنها را حفظ نماید [۲۴]. دا روزا و همکاران (۲۰۱۸) عصاره آنتوسبینین استخراجی از بلوبری را با استفاده از مالتودکسترن و نشاسته ذرت (hi-maize) (با غلظت مواد دیوارهای ۱۸ درصد) ریزپوشانی کردند و پایداری آن را بررسی نمودند [۱۱]. کارایی ریزپوشانی نمونه‌ها در دامنه ۷۴/۴ – ۸۵/۲۲ درصد بود. گی و همکاران (۲۰۱۸) کارایی ریزپوشانی آنتوسبینین ریزپوشانی شده با مشتقات کیتوزانی را در محدوده ۴۴–۱۶ درصد گزارش کردند [۱۸]. هنگامی که از پروتئین‌ها برای ریزپوشانی استفاده شده است، کارایی ۹۸–۱۷ درصد و هنگامی که پلی ساکارید‌ها در ریزپوشانی استفاده شده‌اند، کارایی ۹۹–۳۲ درصد گزارش شده است اگرچه چربی‌ها کارایی کمتری را نشان داده‌اند (۵۳–۲۵ درصد).

ایداهام و همکاران (۲۰۱۲) عصاره آنتوسبینین چای ترش را با مالتودکسترن و صمغ عربی ریزپوشانی کردند و کارایی ریزپوشانی ۹۹/۶۹ درصد بدست آوردند. آنها نتیجه گرفتند که فرمولاسیون‌های حاوی غلظت‌های بالای مالتودکسترن، کارایی بالاتر ریزپوشانی را نشان دادند [۲۵]. نتایج کای و همکاران (۲۰۱۹) حاکی از آن بود که کارایی ریزپوشانی همه نمونه‌ها بالای ۹۶ درصد بود و اختلاف معنی‌داری بین نمونه‌ها وجود نداشت.

۳-۲-۳- تاثیر نوع دیواره بر کارایی ریزپوشانی و میزان آنتوسبینین کل

بازده ریزپوشانی به پتانسیل مواد دیوارهای در حفظ مواد هسته‌ای درون ریزکپسول‌ها اشاره دارد. بازده ریزپوشانی همچنین مرتبط با عمر ماندگاری ماده محصور شده درون دیواره می‌باشد. یک ریزپوشانی موفق منجر به تولید ریزکپسولی با حداقل مواد سطحی بر ذرات ریزکپسول و حداقل حفظ مواد هسته‌ای دارد [۲۳].

کارایی ریزپوشانی همه دیواره‌ها بیشتر از ۹۶ درصد بود و هیچ تفاوت معنی‌داری ($p < 0.05$) بین ریزکپسول‌های تهیه شده با استفاده از مواد دیوارهای مختلف وجود نداشت (شکل ۳). مطابق شکل ۴، بیشترین میزان آنتوسبینین کل ریزکپسول‌ها مربوط به ریزکپسول MD بود. بعد از آن، نمونه‌هایی که دیواره آن دو جزئی بود و یک جزء آن را مالتودکسترن تشکیل می‌داد، قرار داشتند. میزان آنتوسبینین کل ریزکپسول‌های WPC نیز مشابه دسته دوم بود و تفاوت معنی‌داری با آنها نداشت. کمترین میزان آنتوسبینین کل نیز مربوط به ریزکپسول‌های حاوی صمغ عربی (GA) بود. علاوه بر این، میزان آنتوسبینین نمونه‌ها طی نگهداری در دمای تسريع شده (۴۰ درجه سانتی گراد) ثابت ماند و تغییر معنی‌داری مشاهده نشد.

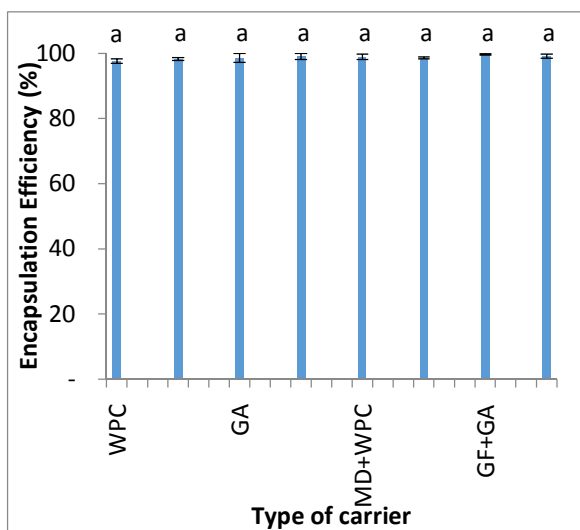


Fig 3 The effect of the wall type of the microcapsule on the encapsulation efficiency of the microencapsulated anthocyanin powder

غیاب اکسیژن می‌تواند اثر منفی حرارت بر رنگدانه‌های طبیعی را نیز کاهش دهد [۲۸].

عبدالله زاده (۱۳۹۷) بیشترین میزان آنتوسبیانینی کل عصاره زرشک ریزپوشانی شده را مربوط به ریزکپسول حاوی ۵۰ درصد مالتودکسترن و ۵۰ درصد صمغ عربی و کمترین آن را در ریزکپسول حاوی ۹۰ درصد مالتودکسترن و ۱۰ درصد صمغ عربی گزارش کرد که با نتایج تحقیق ما مغایرت داشت. او علت این نتیجه را به این صورت بیان کرد که صمغ عربی خاصیت پوشش دهنده‌گی بهتری نسبت به مالتودکسترن دارد، در نتیجه آنتوسبیانین به طور مطلوبی محافظت می‌شود [۳۲]. همچنین در ریزکپسول‌های حاوی درصد زیادی از مالتودکسترن، به‌دلیل اندازه ذرات کوچک‌تر نسبت به ریزکپسول‌های دارای صمغ عربی بیشتر، سطح تماس با اکسیژن زیاد شده و اکسیداسیون آنتوسبیانینها افزایش می‌یابد، در نتیجه ریزکپسول‌های حاوی مالتودکسترن، میزان آنتوسبیانین کمتری نسبت به ریزکپسول‌های حاوی نسبت بالایی از صمغ عربی دارند [۹].

در مجموع نتایج حاکی از آن بود که همه مواد دیواره‌ای به صورت منفرد یا ترکیبی دارای کارایی بسیار مناسبی برای ریزپوشانی بودند و تفاوت معنی‌داری بین آن‌ها وجود نداشت. البته استفاده از مالتودکسترن به تنها برای در ترکیب با مواد دیگر (WPC) یکی از بهترین گزینه‌ها به منظور ریزپوشانی آنتوسبیانین بوده و با استفاده از این روش می‌توان آنتوسبیانین را برای مدت طولانی‌تری حفظ نمود که با نتایج برخی از محققین نیز مشابه است.

۱-۲-۳- تاثیر نوع دیواره بر شاخص‌های رنگ

همانطور که در جدول ۱ مشاهده می‌شود، بیشترین شاخص قرمزی (a^*) مربوط به ریزکپسول MD بود که با آزمون آنتوسبیانین کل ریزکپسول‌ها تطابق دارد [۲۲]. بنابراین، شاخص قرمزی بالاتر در ریزکپسول‌های MD مربوط به غلظت بالاتر آنتوسبیانین در آن‌ها می‌باشد.

بیشترین شاخص روشنایی (L^*) و شاخص زردی (b^*) مربوط به ریزکپسول‌های GA+WPC و کمترین آن مربوط به ریزکپسول‌های MD بود.

[۲۶] که مطابق با نتایج این مقاله است.

ریزکپسول‌های حاوی مالتودکسترن دارای بیشترین میزان آنتوسبیانین کل بودند و ریزکپسول‌های حاوی صمغ عربی و مخلوط صمغ عربی و صمغ فارسی دارای کمترین میزان آنتوسبیانین بودند. براساس تحقیق تونن و همکاران (۲۰۱۰)، در ریزکپسول‌های حاوی نسبت بالایی از صمغ عربی، به دلیل کاهش چگالی توده، فضای خالی بین ذرات زیاد شده و واکنش‌های اکسیداسیون به علت افزایش اکسیژن در بین ذرات، زیاد می‌شود که در نهایت منجر به کاهش مقدار آنتوسبیانین‌ها می‌شود. همچنین در مکانیسم دیگری با افزایش مقدار صمغ عربی در ریزکپسول‌ها، رطوبت هم افزایش یافته که باعث تحرک مولکولی زیاد شده و نفوذ اکسیژن و واکنش‌های اکسیداسیون افزایش یافته و در نتیجه مقدار آنتوسبیانین‌ها هم کاهش می‌یابد [۲۷].

کرانیوتی و همکاران (۲۰۱۵) بیان کردند که مالتودکسترن بیشترین محافظت از آنتوسبیانین زعفران را طی چند هفته نگه‌داری ایجاد کرد و بعد از آن صمغ عربی قرار داشت [۲۸]. فراری و همکاران (۲۰۱۵) دریافتند که استفاده از مالتودکسترن یا صمغ عربی موجب افزایش پایداری آنتوسبیانین تولید شده با روش خشک کن پاششی طی نگهداری در دماهای ۲۵ و ۳۵ درجه سانتیگراد می‌شود [۲۹].

متینی و همکاران (۱۳۹۷) بیشترین مقدار آنتوسبیانین را در نمونه ریزپوشانی شده با مالتودکسترن و صمغ عربی به نسبت ۵۰-۵۰ مشاهده کردند [۳۰]. مهدوی خزائی و همکاران (۲۰۱۴) عصاره آنتوسبیانینی گلبرگ زعفران را با ترکیب صمغ عربی، مالتودکسترن با DE های ۷ و ۲۰ ریزپوشانی کردند و تفاوت معنی‌داری بین آنتوسبیانین کل در دیواره‌های مختلف حتی پس از ۱۰ هفته نگه‌داری، مشاهده نکردند [۹]. جعفری و همکاران (۲۰۱۶) نیز در مورد صمغ دانه شاهی به نتیجه مشابهی رسیدند و گزارش کردند که مواد دیواره‌ای به عنوان مانع فیزیکی عمل می‌کنند که می‌توانند اثرات اکسیژن، نور، حرارت و رطوبت را کاهش دهند. همچنین کاهش میزان رطوبت که طی ریزپوشانی صورت می‌گیرد می‌تواند با کاهش سیالیت ملکول و افزایش ویسکوزیته به عنوان عامل حفاظتی عمل نماید [۳۱].

Table 1 The effect of the wall type of the microcapsule on the color values of the anthocyanin extract powder

Type of carrier	<i>L*</i>	<i>a*</i>	<i>b*</i>
WPC	78.09 \pm 0.10 ^b	0.82 \pm 0.01 ^f	4.38 \pm 0.02 ^c
MD	66.31 \pm 0.05 ^f	23.32 \pm 0.01 ^a	-7.21 \pm 0.01 ^h
GA	66.63 \pm 0.23 ^f	3.18 \pm 0.01 ^d	2.48 \pm 0.01 ^d
GA+MD	66.49 \pm 0.11 ^f	8.01 \pm 0.03 ^c	-3.19 \pm 0.03 ^f
MD+WPC	77.03 \pm 0.12 ^c	3.09 \pm 0.01 ^d	0.26 \pm 0.01 ^c
GA+WPC	80.24 \pm 0.01 ^a	-0.05 \pm 0.01 ^g	9.64 \pm 0.02 ^a
GF+GA	73.42 \pm 0.01 ^d	1.37 \pm 0.01 ^e	7.92 \pm 0.01 ^b
GF+MD	69.33 \pm 0.01 ^e	16.39 \pm 0.01 ^b	-4.96 \pm 0.01 ^g

کاهش ذرات ریزکپسول‌ها می‌تواند ناشی از برهمکنش مناسب نیروهای کشش میان مواد دیواره باشد. عبدالله زاده (۱۳۹۷) مشاهده کرد که بزرگترین اندازه ذرات در نمونه حاوی ۹۰ درصد مالتودکستربن و ۱۰ درصد صمغ عربی با مقدار ۴/۳۴ میکرومتر و کمترین اندازه ذرات در نمونه حاوی ۷۰ درصد مالتودکستربن و ۳۰ درصد صمغ عربی بدست آمد [۳۲]. تومن و همکاران (۲۰۱۰) نشان دادند که ذرات ریزپوشانی شده با صمغ عربی قطر کمتری نسبت به نشاسته تاپیوکا و مالتودکستربن داشت [۲۷] درحالی که در تحقیق ما، تفاوت معنی‌داری بین اندازه ذرات تولید شده با مالتودکستربن و صمغ عربی وجود نداشت اما ترکیب این دو ماده دیواره‌ای موجب کاهش اندازه ذرات شد. در تحقیق دیگری لگاکو و دونفورد (۲۰۱۰) عدم یکسانی شکل و اندازه ریزکپسول‌ها را ناشی از تفاوت در میزان رطوبت ریزکپسول حاصله گزارش کردند [۳۳]. نتایج هاندری و همکاران (۲۰۱۵) نشان داده که ترکیبات مختلف دیواره و تکنیک ریزپوشانی هر دو به طور معنی‌داری بر روی اندازه، شکل و به طور کلی ساختار میکروکپسول‌ها اثر گذار است [۳۴].

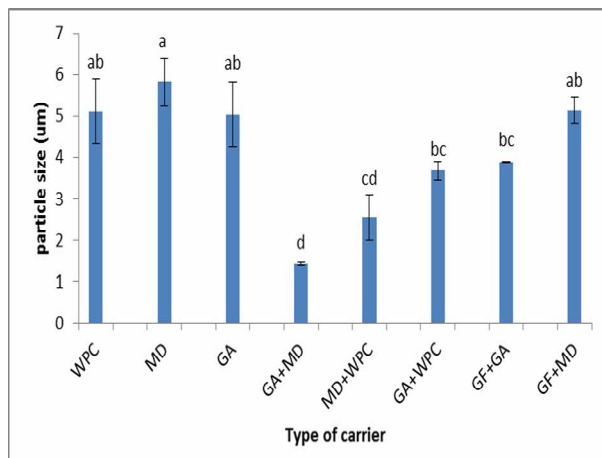
دا روزا و همکاران (۲۰۱۸) اندازه میکروکپسول‌ها را در دامنه ۱۲/۸ تا ۲۰/۷ میکرومتر یافتند [۱۱]. فرانگ و بانداری (۲۰۱۰) اندازه میکروکپسول‌های بدست آمده با خشک‌کن پاششی را در محدوده ۱۰۰-۱۰ میکرومتر گزارش کردند که از اندازه ذرات بدست آمده در این تحقیق بسیار بزرگتر بوده است. این شاخص تحت تاثیر اندازه نازل، سرعت جريان استفاده شده، فشار و غلظت محلول نیز قرار می‌گیرد [۳۵].

انصاری و حجتی (۱۳۹۷) مشاهده کردند که اندازه رنگدانه‌های آنتوسبیانینی ریزپوشانی شده پیاز با استفاده از

کرانیوتی و همکاران (۲۰۱۵) مشاهده کردند که استفاده از دیواره صمغ عربی برای ریزپوشانی عصاره آنتوسبیانین گلبرگ زعفران نسبت به مالتودکستربن، موجب افزایش شاخص قرمزی شد اگرچه بعد از ۱۰ هفته نگهداری، شاخص قرمزی مالتودکستربن بیشتر بود. همچنین شاخص روشنایی عصاره ریزپوشانی شده با صمغ عربی بیشتر از مالتودکستربن بود [۲۸] که با نتایج تحقیق ما مغایر است و ممکن است به سایر ترکیبات موجود در عصاره آنتوسبیانینی مرتبط باشد.

۳- تاثیر نوع دیواره بر اندازه ذرات

بزرگترین اندازه ذرات در ریزکپسول‌های MD و GA و WPC بدست آمد (شکل ۵). به استثنای دیواره ترکیبی مالتودکستربن و صمغ فارسی (MD+GF)، استفاده از دیواره‌های ترکیبی موجب کاهش معنی‌داری ($p < 0.05$) در اندازه ذرات شد. کمترین اندازه ذرات در ریزکپسول با دیواره مالتودکستربن و صمغ عربی حاصل شد.

**Fig 5** The effect of the wall type of the microcapsule on the size of the microencapsulated anthocyanin

و همچنین کمترین شاخص را در نمونه حاوی ۷۰ درصد مالتودکسترين و ۳۰ درصد صمغ عربى با مقدار ۰/۰۲۳ گزارش کرد [۳۲].

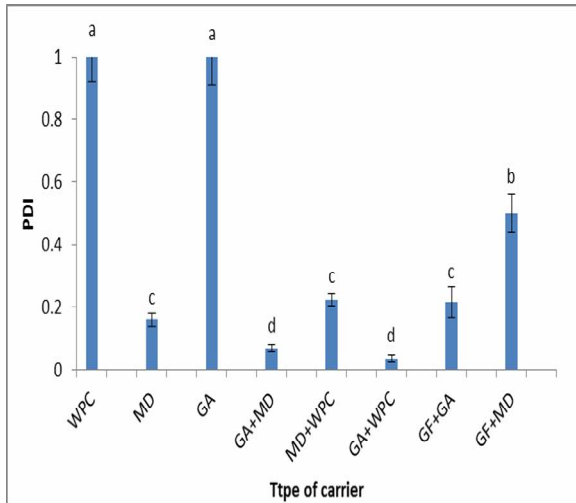


Fig 6 The effect of the wall type of the microcapsule on the polydispersity index (PDI) of the microencapsulated anthocyanin

نتایج تحقیقات کورشیان و همکاران (۱۳۹۴) در خصوص بررسی شاخص بس پاشیدگی ریزکپسول‌های عصاره آنتوسیانینی تمشک سیاه وحشی تهیه شده با روش خشک‌کن پاششی تحت تاثیر نسبت متفاوت مواد حامل شامل مالتودکسترين و صمغ عربى به این صورت بود که نسبت مالتودکسترين بیشتر منجره افزایش شاخص بس پاشیدگی گردید [۲۰].

۳-۵-۱- تاثیر ریزپوشانی بر پایدار سازی آنتوسیانین‌ها در نوشیدنی مدل

ریزکپسول‌های تولید شده در مرحله قبل، در نوشیدنی مدل حل شدن و تاثیر تیمار حرارتی در دمای ۹۰ درجه سانتی‌گراد به مدت ۱۰۰/۸ دقیقه (زمان نیمه عمر آنتوسیانین) بر پایداری آنتوسیانین بررسی شد. همانطور که در شکل ۸ مشاهده می‌شود، بیشترین میزان ماندگاری آنتوسیانین کل (کمترین میزان تخریب) مربوط به ریزکپسول WPC+MD بود و بین سایر ریزکپسول‌ها تفاوت معنی‌داری وجود نداشت. بنابراین مخلوط کنسانتره پروتئین آب پنیر و مالتودکسترين توانسته است به طور معنی‌داری باعث افزایش پایداری آنتوسیانین در نوشیدنی مدل شود.

مالتوکسترين بسیار کمتر از صمغ عربى بود (۶/۱ در برابر ۲۸ میکرومتر) اگرچه در مورد رنگدانه آنتوسیانینی کلم ریزپوشانی شده با این دو ماده حامل، اندازه‌ها مشابه بود. آن‌ها بیان کردند که ذرات ریزوحی با گوشش‌های گرددتر بودند [۳۶].

بورین و همکاران (۲۰۱۰) مشاهده کردند که ریزکپسول‌های مالتودکسترين-سیکلوكسترين و مالتودکسترين-صمغ عربى اندازه‌های مشابه، کوچکتر و گرددتر نسبت به ریزکپسول مالتودکسترين داشتند که با تحقیق ما تطابق دارد [۳۷].

بنابراین، نتایج محققین مختلف نشان می‌دهد که ترکیب مختلف مواد دیواره‌ای سبب تغییرات متفاوتی در اندازه ذرات شده است که بستگی به شرایط تولید، نوع مواد دیواره‌ای و ترکیب مواد دیواره‌ای داشته است. از آنجایی که در تحقیق ما استفاده از دیواره‌ای ترکیبی موجب کاهش معنی‌داری ($p < 0.05$) در اندازه ذرات شد، به نظر می‌رسد واکنشی (مانند پیوند هیدروژنی) بین مواد دیواره‌ای با یکدیگر صورت گرفته است که منجر به کاهش اندازه ذرات شده است.

۳-۴- تاثیر نوع دیواره بر شاخص بس پاشیدگی

شاخص بس پاشیدگی به عنوان معیار توزیع وزن مولکولی^۳ از لحاظ تئوری بسیار مهم است [۳۲]. پراکندگی اندازه ذرات بین ۰/۱۰-۰/۲۵ نشان‌دهنده کم بودن پراکندگی ذرات و باریک‌بودن نمودار پراکندگی ذرات می‌باشد. مقادیر بزرگتر از ۰/۰۵ نشان‌دهنده پراکندگی وسیع ذرات می‌باشد.

مطابق شکل ۶، بیشترین شاخص بس پاشیدگی مربوط به ریزکپسول‌های WPC و GA بود و ترکیب مواد دیواره‌ای باعث کاهش معنی‌داری در این شاخص شد. ریزکپسول با دیواره مالتودکسترين نیز شاخص بس پاشیدگی پایینی داشت (۰/۱۵۹). با توجه به بزرگی قابل توجه شاخص بس پاشیدگی ریزکپسول‌های WPC و GA، پراکندگی گستره‌ای در اندازه ذرات آن‌ها وجود دارد. صمغ عربى در ترکیب با سایر مواد دیواره‌ای، موجب کاهش معنی‌داری در شاخص بس پاشیدگی شده است. عبداله زاده (۱۳۹۷) بزرگترین شاخص بس پاشیدگی را در نمونه حاوی ۹۰ درصد مالتودکسترين و ۱۰ درصد صمغ عربى با مقدار ۰/۶۵۸

3. molecular weight distributions (MWD)

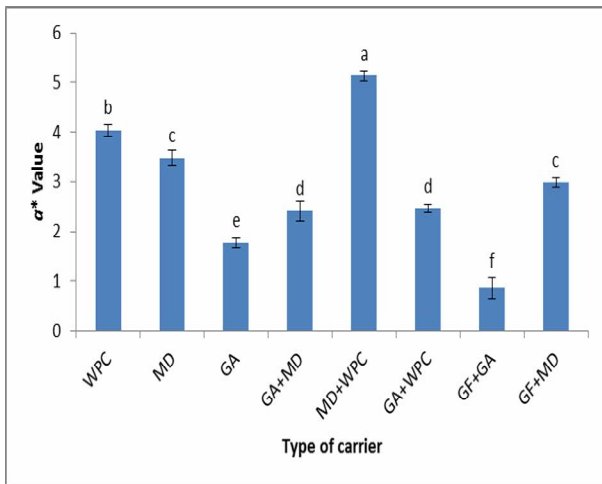


Fig 9 The effect of the wall type of the anthocyanin microcapsule on the a^* value in the model drink

چانگ و همکاران (۲۰۱۶) مشاهده کردند که صمغ عربی موجب افزایش پایداری آنتوسبینین‌ها شد که می‌تواند به علت واکنش آنتوسبینین با قسمت گلیکوپروتئینی مولکول صمغ عربی باشد. طبق نتایج آن‌ها، بیشترین پایداری آنتوسبینین در نوشیدنی حاوی ۱/۵-۰/۳۵ درصد صمغ عربی حاصل شد. با این حال، افزایش غلاظت صمغ عربی به ۵-۲/۵ درصد موجب کاهش پایداری آنتوسبینین شد. این مساله ممکن است ناشی از ازدحام بیش از حد^۱ مولکول‌های صمغ عربی در غلاظت‌های بالا باشد که منجر به شکل گیری فشرده مولکول صمغ می‌شود. درنتیجه ممکن است به خاطر اثر ممانعت فضایی، واکنش بین آنتوسبینین و گلیکوپروتئین کاهش پیدا کند [۱۵]. صمغ عربی عمدتاً در سیستم‌های نوشیدنی و غذا به طور گستره‌ای به عنوان امولسیفایر استفاده می‌شود و می‌تواند پتانسیل مناسی برای جلوگیری از تخریب آنتوسبینین در حضور اسید آسکوربیک داشته باشد.

گوآن و زونگ (۲۰۱۵) تاثیر صمغ عربی بر پایدارسازی آنتوسبینین را در محلول مدل (pH=5) محتوی آن‌ها در دماهای ۸۰ و ۱۲۶ درجه سانتی‌گراد و زمان ۸۰-۰ دقیقه مورد بررسی قرار دادند. محلول مدل حاوی ۰/۵۱ میلی گرم/میلی لیتر آنتوسبینین بود و غلاظت صمغ عربی نیز ۱۰ میلی گرم بر میلی لیتر در نظر گرفته شد. با افزودن صمغ عربی، نیمه عمر تخریب آنتوسبینین‌ها در ۸۰ و ۱۲۶ درجه سانتی‌گراد به ترتیب ۲ و ۱/۸ برابر افزایش یافت [۳۸]. آن‌ها همچنین مشاهده کردند که

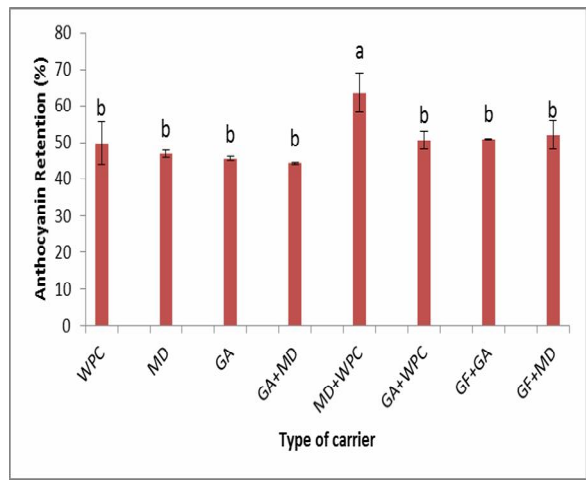


Fig 8 The effect of the wall type of the microcapsule on the retained anthocyanin in the model drink

شاخص قرمزی نوشیدنی مدل حاوی ریزکپسول‌ها به طور معنی‌داری تحت تاثیر تیمار حرارتی قرار گرفت و به شدت کاهش یافت. نوع دیواره نیز به طور معنی‌داری شاخص قرمزی را تحت تاثیر قرار داد.

مطابق شکل ۹، بیشترین شاخص قرمزی مربوط به نوشیدنی مدل حاوی ریزکپسول‌های MD+WPC و سپس نوشیدنی مدل حاوی ریزکپسول WPC بود. کمترین شاخص قرمزی نیز مربوط به ریزکپسول‌های حاوی مخلوط صمغ عربی و صمغ فارسی (GA+GF) بود. براین اساس، استفاده از ریزکپسول‌های حاوی صمغ فارسی یا صمغ عربی موجب کاهش شاخص قرمزی در نوشیدنی‌های مدل شده است و ریزکپسولی که حاوی هر دوی این صمغ‌ها بوده است کمترین شاخص قرمزی را در نوشیدنی ایجاد کرده است.

بیشترین میزان پایداری (محافظت از) آنتوسبینین و همچنین MD+WPC بیشترین شاخص قرمزی در نوشیدنی مدل حاوی بدست آمد. اگرچه شاخص آنتوسبینین کل در نوشیدنی مدل حاوی سایر ریزکپسول‌ها مشابه بود اما شاخص قرمزی نوشیدنی‌های مدل حاوی ریزکپسول با دیواره صمغ فارسی یا صمغ عربی به شدت کاهش یافت و ریزکپسولی که حاوی هر دوی این صمغ‌ها بوده است کمترین شاخص قرمزی را در نوشیدنی ایجاد کرده است. مهدوی خزائی و همکاران (۲۰۱۴) نیز بیشترین میزان تغییر رنگ کل را در عصاره‌های ریزپوشانی شده با صمغ عربی مشاهده کردند که حاکی از قهوه‌ای شدن رنگدانه‌ها بوده است [۹].

ممکن است برای تولید محصول مطلوب نباشد اما نوشیدنی‌های حاوی WPI شفاف بودند. محلول آرپی‌وی‌ای (WPI) دناتوره شده با حرارت نسبت به WPI اولیه (دناتوره نشده) در جلوگیری از تخریب (تغییر) رنگ موثرتر بود که نشانگر آن است که دناتوره شدن و غیرحلقوی شدن پروتئین ممکن است ایترکشن با آنتوسیانین را به علت افزایش در معرض قرار گرفتن کروه‌های هیدروفوبی، افزایش داده باشد. فرضیه آن‌ها این بود که WPI دناتوره شده از طریق واکنش با آنتوسیانین یا واکنش با اسید آسکوربیک توانسته باعث بهبودی پایداری آنتوسیانین‌ها شود که این فرآیند همان کوپیگماتاسیون است. اگرچه آزمون‌های تکمیلی آن‌ها حاکی از آن بود که واکنش پروتئین با آنتوسیانین عامل اصلی موثر بر جلوگیری از تخریب آنتوسیانین در نوشیدنی مدل بوده است که احتمالاً تشکیل این کمپلکس توانسته است از تخریب آنتوسیانین به وسیله اسید آسکوربیک جلوگیری کند [۱۴].

بنابراین بر اساس نتایج صورت گرفته، ریزکپسول حاوی WPC می‌تواند طی تیمار حرارتی دناتوره شده باشد و از طریق واکنش با آنتوسیانین، موجب محافظت از آن شده باشد. علاوه بر این، استفاده از مخلوط WPC و MD ممکن است موجب ایجاد اثر کوپیگماتاسیون مالتودکسترین و محافظت بهتر از آنتوسیانین شده باشد.

۴- نتیجه گیری کلی

از میان دیواره‌های استفاده شده برای ریزپوشانی عصاره آنتوسیانینی، مالتودکسترین از سایرین موثرتر بود و آنتوسیانین بیشتری را طی خشک کردن حفظ نمود اما پس از بکار بردن ریزکپسول‌ها در نوشیدنی مدل، بیشترین آنتوسیانین باقی مانده (محافظت شده) مربوط به ریزکپسول WPC+MD بود. علاوه بر این، شاخص آنتوسیانین کل در نوشیدنی مدل حاوی سایر ریزکپسول‌ها مشابه بود اما شاخص قرمزی نوشیدنی‌های مدل حاوی ریزکپسول با دیواره صمغ فارسی یا صمغ عربی به شدت کاهش یافت و ریزکپسولی که حاوی هر دوی این صمغ‌ها بوده است کمترین شاخص قرمزی را در نوشیدنی ایجاد کرده است. بنابراین دیواره پروتئینی نسبت به صمغ‌های فارسی و عربی و مالتودکسترین، تاثیر مثبت بیشتری بر محافظت از آنتوسیانین‌ها طی فرآیندهای حرارتی در محیط غذایی داشته است.

شاخص قرمزی محلول پس از حرارت دهی کاهش یافت که می‌تواند به علت از دست رفتن کاتیون فلاویلیوم و هیدرولیز پیوند دوگانه حلقه C در مولکول آنتوسیانین باشد. علاوه براین، قسمت قندی آنتوسیانین (گلوكز یا ساکارز) می‌تواند طی تیمار حرارتی تجزیه شود و قند و گلیکون ایجاد شده موجب تسريع کاهش قرمزی شود [۳۹]. سادیلوا و همکاران (۲۰۰۹) گزارش کردند که کربوهیدرات‌های محلول در آب قادر به بهبود پایداری آنتوسیانین‌ها از طریق مکانیسم کوپیگماتاسیون می‌باشند که این مکانیسم ممکن است برای صمغ عربی محلول در آب نیز صادق باشد [۴۰].

ایدهام و همکاران (۲۰۱۲) آنتوسیانین را با صمغ عربی، مالتودکسترین و مخلوط صمغ عربی-مالتودکسترین با استفاده از خشک کن پاششی ریزپوشانی کردند و پودر حاصل را در محلولی با pH برابر با ۳ آماده‌سازی نموده و در دماهای ۶۰، ۸۰ و ۹۸ درجه سانتی‌گراد حرارت دهی کردند. سرعت تخریب آنتوسیانین در نمونه کنترل در دمای ۶۰ درجه سانتی‌گراد مشابه نمونه حاوی صمغ عربی بود اگرچه نمونه‌های حاوی مالتودکسترین و مخلوط مالتودکسترین و صمغ تخریب کمتری را نشان دادند. در دمای ۸۰ درجه سانتی‌گراد، حتی نیمه عمر تخریب آنتوسیانین در نمونه حاوی صمغ عربی کوتاه‌تر از نمونه کنترل بود. در دمای ۹۸ درجه سانتی‌گراد، پایداری آنتوسیانین‌ها در همه نمونه‌ها بهبود پیدا کرد که علت آن می‌تواند تاثیر کربوهیدرات‌های محلول در آب از طریق مکانیسم کوپیگماتاسیون باشد [۲۵].

بورین و همکاران (۲۰۱۰) بیشترین پایداری آنتوسیانین‌های ریزپوشانی شده در نوشیدنی ایزوتوئنیک را در عصاره ریزپوشانی شده با مخلوط مالتودکسترین-صمغ عربی و کمترین پایداری در عصاره ریزپوشانی شده با مالتودکسترین مشاهده کردند. آن‌ها علت پایداری کمتر دیواره مالتودکسترین را توانایی کمتر این ترکیب در تشکیل فیلم بیان کردند [۳۷]. قرسالوی و همکاران (۲۰۰۷) بیان کردند حامل‌های منفرد به تنهایی قادر به ریزپوشانی موثر نیستند و استفاده از مخلوط حامل‌ها می‌تواند از ترکیبات محافظت کند [۴۱].

چانگ و همکاران (۲۰۱۵) مشاهده کردند که ایزوله پروتئینی آب پنیر نسبت به پکتین موجب پایداری بیشتر آنتوسیانین در نوشیدنی مدل شد. پکتین ظاهر نوشیدنی مدل را کدر کرد که

- [9] Khazaei, K..M., Jafari, S.M., Ghorbani, M., Hemmati Khakki, A. (2014). Application of maltodextrin and gum Arabic in microencapsulation of saffron petal's anthcyanins and evaluating their stability. *Carbohydrate polymers*, 105: 57-62.
- [10] de Moura, S. C., Berling, C. L., Germer, S. P., Alvim, I. D., & Hubinger, M. D. (2018). Encapsulating anthocyanins from Hibiscus sabdariffa L. calyces by ionic gelation: Pigment stability during storage of microparticles. *Food Chemistry*, 241: 317-327.
- [11] da Rosa, J. R., Nunes, G. L., Motta, M. H., Fortes, J. P., Weis, G. C. C., Hecktheuer, L. H. R., ... & da Rosa, C. S. (2019). Microencapsulation of anthocyanin compounds extracted from blueberry (*Vaccinium* spp.) by spray drying: Characterization, stability and simulated gastrointestinal conditions. *Food Hydrocolloids*, 89: 742-748.
- [12] Khazaei, K. M., Jafari, S. M., Ghorbani, M., Kakhki, A. H., & Sarfarazi, M. (2016). Optimization of anthocyanin extraction from saffron petals with response surface methodology. *Food Analytical Methods*, 9(7): 1993-2001.
- [13] Jafari, S. M., Mahdavi-Khazaei, K., & Hemmati-Kakhki, A. (2016). Microencapsulation of saffron petal anthocyanins with cress seed gum compared with Arabic gum through freeze drying. *Carbohydrate polymers*, 140: 20-25.
- [14] Chung, C., Rojanasasithara, T., Mutilangi, W., McClements, D.J. (2015). Enhanced stability of anthocyanins based color in model beverage systems through whey protein isolate complexation. *Food Chemistry*, 76:761-8.
- [15] Chung, C., Rojanasasithara, T., Mutilangi, W., & McClements, D. J. (2016). Enhancement of colour stability of anthocyanins in model beverages by gum arabic addition. *Food Chemistry*, 201: 14-22.
- [16] Bolourian, sh. (2020). Optimization of the extraction the anthocyanin extract of the saffron petal. ACECR, Research institute of the Food Science and technology. (In Persian)
- [17] Rahimi, S., & Abbasi, S. (2014). Characterization of some physicochemical and gelling properties of Persian gum. *Innovative Food Technologies*, 1(4): 13-27.

۵- تشکر و قدردانی

این طرح با حمایت مالی معاونت پژوهش و فناوری جهاد دانشگاهی در قالب طرح با عنوان «پایدارسازی حرارتی عصاره آنتوسبیانین گلبرگ زعفران با استفاده از روش های کوپیگامانتاسیون و ریزپوشانی و کاربرد آن در مدل غذایی» با کد ۶۰۲۲-۲۰ انجام شده است.

۶- منابع

- [1] Carocho M, Barreiro MF, Morales P, Ferreira ICFR. 2014. Adding molecules to food, pros and cons: A review on synthetic and natural food additives. *Comprehensive Review of Food Science and Food Safety*, 13:377-99.
- [2] Li X, Xu J, Tang X, Liu Y, Yu X, Wang Z, Liu W. 2016. Anthocyanins inhibit trastuzumab resistant breast cancer in vitro and in vivo. *Molecular Medicine Report*, 13:4007-13.
- [3] Dia VP, Wang Z, West M, Singh V, West L, Gonzalez de Mejia E. 2015. Processing method and corn cultivar affected anthocyanin concentration from dried distillers grains with solubles. *Journal of Agriculture and Food Chemistry*, 63:3205-18.
- [4] Jackman RL, Smith JL. 1996. Anthocyanins and betalains. In: Hendry GAF, Houghton JD, editors. *Natural food colorants*. 2nd ed. New York: Springer US. p 244-309.
- [5] Agricultural statistics. (2018). Ministry of agriculture. (In Persian)
- [6] Einafshar, S. (2018) the production of the colorants and natural antioxidant from the saffron petal waste, *Journal of Saffron*, 1(1): 25-33. (In Persian)
- [7] Cortez, R., Luna-Vital, D. A., Margulis, D., & Gonzalez de Mejia, E. (2017). Natural pigments: stabilization methods of anthocyanins for food applications. *Comprehensive Reviews in Food Science and Food Safety*, 16(1): 180-198.
- [8] Sui, X., Dong, X., Zhou, W. (2014). Combined effect of pH and high temperature on the stability and antioxidant capacity of anthocyanins in aqueous solution. *Food Chemistry*, 163:163-70.

- microencapsulation. *Food Hydrocolloids*, 91: 238-245.
- [27] Tonon, R.V., Barbet, C., and Hubinger, M.D. (2010). Physicochemical and morphological characterisation of açai (*Euterpe oleracea Mart.*) powder produced with different carrier agents. *Food Research International*, 43:907–914.
- [28] Chranioti, C., Nikoloudaki, A., & Tzia, C. (2015). Saffron and beetroot extracts encapsulated in maltodextrin, gum Arabic, modified starch and chitosan: Incorporation in a chewing gum system. *Carbohydrate polymers*, 127, 252-263.
- [29] Ferrari, C. C., Marconi Germer, S. P., Alvim, I. D., & de Aguirre, J. M. (2013). Storage stability of spray-dried blackberry powder produced with maltodextrin or gum arabic. *Drying Technology*, 31(4), 470-478.
- [30] Matini, S., Mortazavi, S.A., Sadeghian, A., Sharifi, A. (2018). Study of physicochemical properties of the encapsulated extract of red grape peel of Sardasht and its stability in yogurt. *Innovation in food science and technolog*, 7(3): 241-254. (In Persian)
- [31] Jafari, S. M., Mahdavi-Khazaei, K., & Hemmati-Kakhki, A. (2016). Microencapsulation of saffron petal anthocyanins with cress seed gum compared with Arabic gum through freeze drying. *Carbohydrate polymers*, 140, 20-25.
- [32] Abdollahzadeh, M. (2019). Microencapsulation of barberry extract using spray dryer technique and evaluation of its physicochemical and stability properties. M.S. Thesis. (In Persian)
- [33] Legako, J., and Dunford, N.T. (2010). Effect of spray nozzle design on fish oil-whey protein microcapsule properties. *Food Science*, 75(6):394-400.
- [34] Hundre, S.Y., Karthik, P., and Anandharamakrishnan, C. (2015). Effect of whey protein isolate and beta cyclodextrin wall systems on stability of microencapsulated vanillin by spray-freeze drying Method. *Food Chemistry*, 174:16-24.
- [35] Fang, Z. X., and Bhandari, B.(2011). Effect of spray drying and storage on the stability of bayberry polyphenols. *Food Chemistry*, 129:1139–1147.
- [36] Ansari, M., Hojjati, M. R. (2018).
- [18] Ge, J., Yue, P., Chi, J., Liang, J., & Gao, X. (2018). Formation and stability of anthocyanins-loaded nanocomplexes prepared with chitosan hydrochloride and carboxymethyl chitosan. *Food Hydrocolloids*, 74: 23-31.
- [19] Ersus, S., and Yurdagel, U. 2007. Microencapsulation of anthocyanin pigments of black carrot (*Daucuscarota L.*) by spray drier. *Journal of Food Engineering*, 80:805–812.
- [20] Kouroshian, M., Sharifi, a., Mahdavian, h., Bolourian, Sh. (2016). Investigation the physical properties of the microcapsule of the Rubus fruticosos prepared by spray drying, *Innovative in Food Science Technology*, 7 (4): 85-94.
- [21] Fan, L., Wang, Y., Xie, P., Zhang, L., Li, Y., & Zhou, J. (2019). Copigmentation effects of phenolics on color enhancement and stability of blackberry wine residue anthocyanins: Chromaticity, kinetics and structural simulation. *Food chemistry*, 27: 299-308.
- [22] Jiménez-Aguilar, D. M., Ortega-Regules, A. E., Lozada-Ramírez, J. D., Pérez-Pérez, M. C. I., Vernon-Carter, E. J., & Welti-Chanes, J. (2011). Color and chemical stability of spray-dried blueberry extract using mesquite gum as wall material. *Journal of Food Composition and Analysis*, 24(6): 889-894.
- [23] Desai, K.G.H., and Park, H.J. 2007. Recent developments in microencapsulation of food ingredients. *Drying Technology*, 23(7):1361–1394.
- [24] Cruz, L., BRAs, N. F., Teixeira, N., Mateus, N., Ramos, M. J., Dangles, O., & De Freitas, V. (2010). Vinylcatechin dimers are much better copigments for anthocyanins than catechin dimer procyanidin B3. *Journal of agricultural and food chemistry*, 58(5): 3159-3166.
- [25] Idham, Z., Muhamad, I. I., & Sarmidi, M. R. (2012). Degradation kinetics and color stability of spray-dried encapsulated anthocyanins from hibiscus sabdariffa. *Journal of Food Process Engineering*, 35(4): 522-542.
- [26] Cai, X., Du, X., Cui, D., Wang, X., Yang, Z., & Zhu, G. (2019). Improvement of stability of blueberry anthocyanins by carboxymethyl starch/xanthan gum combinations

- malvidin 3-glucoside. *Journal of the American Chemical Society*, 99(26): 8461-8468.
- [40] Sadilova, E., Stintzing, F. C., Kammerer, D. R., & Carle, R. (2009). Matrix dependent impact of sugar and ascorbic acid addition on color and anthocyanin stability of black carrot, elderberry and strawberry single strength and from concentrate juices upon thermal treatment. *Food Research International*, 42(8): 1023-1033.
- [41] Gharsallaoui, A., Roudaut, G., Chambin, O., Voilley, A., & Saurel, R. (2007). Applications of spray-drying in microencapsulation of food ingredients: An overview. *Food research international*, 40(9), 1107-1121.
- Optimization of the extraction and microencapsulation of anthocyanin from red onion peel and red cabbage. *Journal of food research*, 28 (1): 73-91. (In Persian)
- [37] Burin, V. M., Rossa, P. N., Ferreira-Lima, N. E., Hillmann, M. C., & Boirdignon-Luiz, M. T. (2011). Anthocyanins: optimisation of extraction from Cabernet Sauvignon grapes, microcapsulation and stability in soft drink. *International Journal of Food Science & Technology*, 46(1), 186-193.
- [38] Guan, Y., & Zhong, Q. (2015). The improved thermal stability of anthocyanins at pH 5.0 by gum arabic. *LWT-Food Science and Technology*, 64(2): 706-712.
- [39] Brouillard, R., & Delaporte, B. (1977). Chemistry of anthocyanin pigments. 2. Kinetic and thermodynamic study of proton transfer, hydration, and tautomeric reactions of



Thermal stabilization of the anthocyanin extract of saffron petal using encapsulation and its application in the model drink

Saberian, H. ^{1,2*}, Pasban Noghabi, V. ³

1. Assistant Professor of Food Additives Department, Food Science and Technology Research Institute, ACECR, Khorasan Razavi, Iran.
2. Technical Center for Agriculture, Academic Center for Education, Culture and Research (ACECR), Isfahan University of Technology Branch, Isfahan, Iran.
3. MSc. Student, Department of Food Science and Technology, ACECR Kashmar Higher Education Institute, Kashmar, Iran.

ARTICLE INFO

Article History:

Received 2021/05/04
Accepted 2022/10/26

Keywords:

Thermal stabilization,
Anthocyanin,
Saffron petal,
Encapsulation,
Whey protein.

DOI: 10.22034/FSCT.19.132.17
DOR: 20.1001.1.20088787.1401.19.132.2.5

*Corresponding Author E-Mail:
Saberian@acecr.ac.ir

ABSTRACT

One of the most important challenge about using anthocyanin, is its low stability, especially against light and heat condition. Therefore, the main goal of this research was to increase the stability of the anthocyanin extract of the saffron petal in thermal and light condition. To reach this goal, encapsulation is the common method. Optimization of the anthocyanin encapsulation by Arabic gum, Persian gum, whey protein and maltodextrin was conducted to investigate the thermal stability in the model drink. Anthocyanin half-life during heat treatment (at 90 °C) was 100.8 min, which became the base of the heat treatment for the model drinks. Among the different wall material used in encapsulating of the anthocyanin extract, the highest total anthocyanin content was related to the maltodextrin microcapsule (191.7 mg cyanidin 3-glycoside/100g saffron petal powder). After that, there were the samples with two-part wall that one was maltodextrin. The lowest total anthocyanin was related to the microcapsules containing gum Arabic. After applying the microcapsule to the model drink, the highest anthocyanin retained (63.55%) was related to the microcapsule containing the combined maltodextrin and whey protein concentrate (at ratio of 1:1). Therefore the protein wall had the more positive effect on the retention of the anthocyanin in the model drink during thermal treatments.